

# 胃肠道肿瘤 TGF- $\alpha$ 基因表达的研究 \*

乔 波 孙丛梅 周爱儒

(北京医科大学生物化学教研室, 北京 100083)

**摘要** 用分子杂交技术及流式细胞方法研究了转化生长因子  $\alpha$  (TGF  $\alpha$ ) 在人胃肠道肿瘤组织中的表达。结果表明, 胃癌、结肠癌和直肠癌组织较相应癌旁组织 TGF  $\alpha$ mRNA 水平增高。佛波脂 (TPA 100 $\mu$ g/L) 作用胃癌细胞 MGc80-3 后 4h, 可使细胞中 TGF  $\alpha$  mRNA 水平增高, 作用 6h 可使 S 期细胞百分比明显增加。这些结果提示: TGF  $\alpha$  在胃肠道肿瘤中起重要作用, 其表达可受 TPA 的调节。

**关键词** TGF  $\alpha$ , 人胃肠道肿瘤, TPA

转化生长因子  $\alpha$  (TGF  $\alpha$ ) 是由 50 个氨基酸组成的多肽, 相对分子量为 6000, 它能促进某些非转化细胞发生表型转化, 使其丧失生长接触抑制能力<sup>[1]</sup>。

TGF  $\alpha$  发生作用的详细机制尚不清楚, 但现在普遍认为它主要以自分泌方式发挥作用。目前, 除造血系统的肿瘤组织中没有发现 TGF  $\alpha$  的高表达外, 在包括胃肠道瘤的许多瘤组织中均发现 TGF  $\alpha$  的高表达。

本文以人胃肠道肿瘤为研究对象, 应用分子杂交技术检测了 TGF  $\alpha$  mRNA 的表达, 并且研究了蛋白激酶 C 激动剂佛波脂 (TPA) 对胃癌细胞 MGc80-3 TGF  $\alpha$  mRNA 表达的影响, 为探讨 TGF  $\alpha$  在胃肠道肿瘤中的作用提供实验依据。

## 1 材料与方法

### 1.1 材料、试剂和仪器

胃癌和肠癌手术标本由北京医科大学第二和第三临床医学院提供。

MGc80-3 胃癌细胞株<sup>[2]</sup>, 由北京医科大学肿瘤研究所提供。

TGF  $\alpha$  cDNA 探针由中国科学院上海生化所提供。 $\alpha$ -<sup>32</sup>PdCTP 是 Free (北京) 生物工程公司产品。随机引物试剂盒是 Promega 公司产品。美国 Sigma 公司产品: TPA, 异硫氰酸胍。

其它试剂均为分析纯。

德国 IBSA2000 图象分析仪; FACS-440 流式细胞计数仪。

### 1.2 方法

**1.2.1 组织及细胞总 RNA 提取** 依据文献 [3] 方法, 取 0.5g 胃或肠组织加入 5ml D 溶液, (4mol/L 异硫氰酸胍, 25mmol/L 柠檬酸钠 0.5%  $\beta$ -十二烷基肌氨酸钠 0.1mol/L 硫基乙醇 pH=7.0), 匀浆组织, 经饱和酚、氯仿/异戊醇 (49:1) 抽提及异丙醇沉淀, 所得 RNA 溶于 0.2% SDS 中, -70°C 保存备用。

**1.2.2 总 RNA 样品的定量及电泳鉴定** 将样品配成一定浓度, 在紫外分光光度计测定其 260nm 和 280nm 的 A 值。 $A_{260}/A_{280} \geq 2$  表明样品纯度较高。 $1A = 40 \times 10^3 \mu\text{g}/\text{L}$  RNA, 由此定量。另取 5 $\mu\text{g}$  总 RNA 样品经 0.7% 琼脂糖电泳, 溴化二锭 (EB) 染色后, 于紫外灯下观察。

**1.2.3 探针的标记** 随机引物标记法, 按试剂盒所述方法操作。本实验所用的探针标记参入率为 90%, 标记探针的放射性比活度在  $2 \times 10^8$ — $9 \times 10^8$  cpm/ $\mu\text{g}$  之间。

**1.2.4 RNA 印迹杂交、点杂交和狭缝杂交** 按分子克隆实验手册 (第二版) 所述方法操作。

**1.2.5 细胞周期分析** 分别将 TPA (100 $\mu$ g/L)

\* 国家自然科学基金资助项目。

收稿日期: 1994-06-18, 修回日期: 1995-01-12

处理 2h 和 6h 的胃癌细胞 MGc80-3, 用胰酶和 EDTA 消化成单个细胞, 经 -20℃ 无水乙醇固定, 以 PBS 配成每毫升含  $1 \times 10^6$  个细胞。用 FACS-440 流式细胞计数仪分析各期细胞百分比。

## 2 结 果

### 2.1 总 RNA 鉴定电泳

图 1 中可见 RNA 样品无降解, 无 DNA 污染。

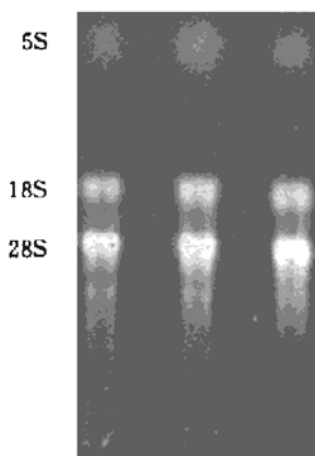


图 1 总 RNA 鉴定电泳  
上样量 5 $\mu$ g, 0.7% 琼脂糖凝胶。

### 2.2 狹缝杂交检测人胃癌组织 TGF $\alpha$ mRNA 的表达

图 2 是杂交反应的放射自显影结果, 经面积光密度 (IOD) 测定结果见表 1。

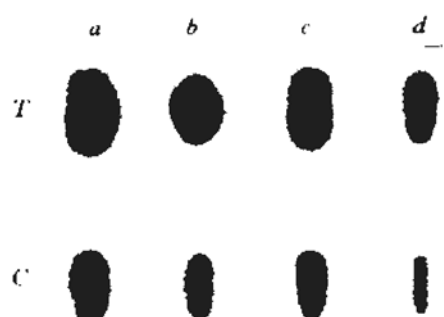


图 2 人胃癌组织 TGF  $\alpha$  mRNA 的狭缝杂交  
T: 人结肠癌组织; C: 相应癌旁组织, 上样量  
a: 20 $\mu$ g, b: 15 $\mu$ g, c: 10 $\mu$ g, d: 5 $\mu$ g。

表 1 人胃癌组织 TGF  $\alpha$  mRNA 表达

样品/ $\mu$ g	5	10	15	20
	IOD			
胃癌	1071	2191	2309	3640
癌旁	500	945	1108	2250

以上结果表明, 人胃癌组织较其相应癌旁组织 TGF  $\alpha$  mRNA 表达水平增高。

### 2.3 点杂交检测人结肠癌组织 TGF $\alpha$ mRNA 的表达

图 3 是点杂交的放射自显影结果, IOD 测定结果见表 2。

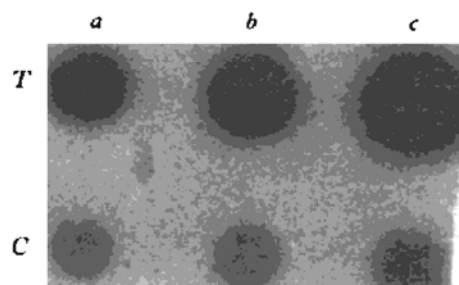


图 3 人结肠癌组织 TGF  $\alpha$  mRNA 的点杂交  
T: 人结肠癌组织; C: 相应癌旁组织, 上样量  
a: 10 $\mu$ g, b: 15 $\mu$ g, c: 20 $\mu$ g。

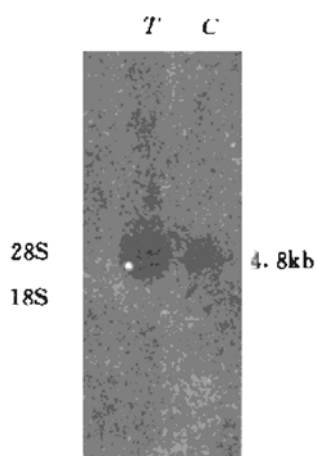
表 2 人结肠癌组织 TGF  $\alpha$  mRNA 表达

样品/ $\mu$ g	10	15	20
	IOD		
结肠癌	241	371	599
癌旁	81	117	154

由上面结果可见, 人结肠癌组织中癌组织较相应癌旁组织 TGF  $\alpha$  mRNA 表达水平增高。

### 2.4 RNA 印迹杂交检测人直肠癌组织 TGF $\alpha$ mRNA 表达

图 4 是杂交反应的放射自显影结果, 表 3 是 IOD 测定结果。



**图 4 人直肠癌组织 TGF- $\alpha$  mRNA 的 RNA 印迹杂交**

每泳道上样量为 30 $\mu\text{g}$  总 RNA. T: 人直肠癌组织; C: 相应癌旁组织.

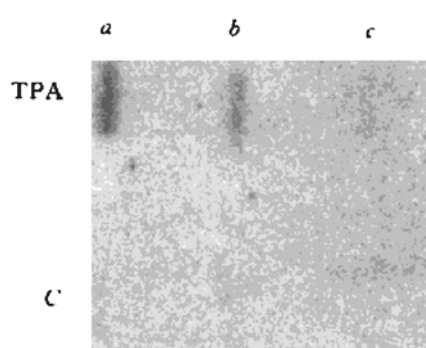
**表 3 人直肠癌组织 TGF- $\alpha$  mRNA 表达**

样品	RNA/ $\mu\text{g}$	IOD
直肠癌	30	1379
癌 旁	30	513

由结果可见, 人直肠癌组织较其相应癌旁组织 TGF- $\alpha$  mRNA 表达水平增高.

### 2.5 TPA 对 MGc80-3 细胞 TGF- $\alpha$ mRNA 水平的影响

图 5 是 TPA (100 $\mu\text{g}/\text{L}$ ) 作用 MGc80-3 细胞 4h, 提取细胞总 RNA 应用狭缝杂交技术检测其 TGF- $\alpha$  mRNA 水平的放射自显影结果. 表 4 是 IOD 测定结果.



**图 5 TPA 处理胃癌细胞 4h TGF- $\alpha$  mRNA 的狭缝杂交**

TPA 组; C: 对照组. 上样量 a: 20 $\mu\text{g}$ , b: 10 $\mu\text{g}$ , c: 5 $\mu\text{g}$ .

**表 4 TPA 处理人胃癌细胞 4h TGF- $\alpha$  mRNA 表达**

样品/ $\mu\text{g}$	5	10	20
<i>IOD</i>			
TPA	27	47	65
对照	18	29	31

由以上结果可见, TPA 处理胃癌细胞 4h 后 TGF- $\alpha$  mRNA 表达水平增高.

### 2.6 流式细胞分析技术检测 TPA 对人胃癌细胞 MGc80-3 细胞周期的影响

表 5 是 TPA (100 $\mu\text{g}/\text{L}$ ) 处理胃癌细胞 2h 和 6h 各期细胞的参数.

**表 5 TPA 处理胃癌细胞后各期细胞参数**

细胞周期	% G <sub>1</sub> S G <sub>2</sub> +M		
	2h	6h	2h
对照	66.7	18.7	14.6
	46.9	36.8	16.3
TPA	59.5	24.1	16.4
	36.4	63.5	0.2

由以上结果可见, TPA 处理胃癌细胞 2h, S 期细胞比例变化不明显, 而作用 6h 后, S 期细胞比例由 36.8% 变成 63.5%, 表明 S 期细胞比例明显增加.

## 3 讨 论

在以前的研究中, 癌组织和相应癌旁组织 TGF- $\alpha$  mRNA 表达水平有不同的报道结果<sup>[4,5]</sup>. 我们对现有手术标本研究结果表明, 人胃癌、结肠癌和直肠癌组织中, 癌组织较相应癌旁组织 TGF- $\alpha$  mRNA 有高表达, 这些结果和一些文献报道相符<sup>[4]</sup>. TGF- $\alpha$  mRNA 在胃肠道肿瘤中的高表达, 提示它在肿瘤中起重要作用.

我们室以前证明<sup>[6]</sup>, TPA 能提高人膀胱移形上皮癌 BIU-87 细胞中 TGF- $\alpha$  mRNA 和活性分子的水平. 本实验证明 TPA (100 $\mu\text{g}/\text{L}$ ) 对胃癌细胞 MGc80-3 TGF- $\alpha$  mRNA 水平也有上

调作用。这些结果表明,蛋白激酶C(PKC)的活性与TGF $\alpha$ 的生成有关,PKC对TGF $\alpha$ mRNA的上调作用和TGF $\alpha$ 自分泌作用可能存在不同的调节通路<sup>[7]</sup>。TPA与胃癌细胞TGF $\alpha$ mRNA表达关系的研究目前尚未见报道。

### 参 考 文 献

- 1 Delarco J, Todaro G T. Proc Natl Acad Sci USA, 1978; **75**: 4001
- 2 王凯华. 实验生物学报, 1983; **16** (3): 257
- 3 Chomezynski P, Sacchi N. Anal Biochem, 1987; **162**: 156
- 4 Coffey R J, Shipley G D, Moses H L. Cancer Res, 1986; **46**: 1164
- 5 Malden L T, Novak V, Burgess A W. Int J Cancer, 1989; **43**: 380
- 6 葛振龙, 周爱儒. 生物化学杂志, 1992; **8** (4): 468
- 7 Klein S B, Fisher G J, Jensen T C et al. J Cell Physiol, 1992; **151**: 326

**Investigation of Expression of TGF $\alpha$  mRNA in Human Gastrointestinal Carcinoma.** Qiao Bo, Sun Congmei, Zhou Airu (*Department of Biochemistry, Beijing Medical University, Beijing 100083, China*).

(上接第 277 页)

### 参 考 文 献

- 1 Saiki R K, Gelfand D H, Stoffel S et al. Science, 1988; **239**: 487
- 2 Keohavong P, Thilly W G. Proc Natl Acad Sci USA, 1989; **86**: 9253
- 3 Ennis P D, Zemmour J, Salter R D et al. Proc Natl Acad Sci USA, 1990; **87**: 2833

**The Calculation of the Minimum of Non-Base-Mismatch Copy Proportion of the PCR Products.** Fang Yuequn, Wang Bingrui (*Lanzhou Institute of Biological Products, Ministry of Public Health, Lanzhou 730046, China*).

**Abstract** The quantity change of the copies with mismatch bases in PCR products was

**Abstract** The expression of transforming growth factor  $\alpha$  (TGF  $\alpha$ ) in human gastrointestinal carcinoma by methods of molecular hybridization and cell FIT cell-cycle analysis was investigated. The results show that the levels of TGF  $\alpha$  mRNA are higher in gastric carcinoma tissues, colonic carcinoma tissues and rectal carcinoma tissues than in the corresponding control tissues. After treating with 12-O-tetradecanoylphorbol-13-acetate (TPA, 100 $\mu$ g/L, 4h), the level of TGF  $\alpha$  mRNA in gastric carcinoma cell line (MGc80-3) increases, and percentage of S phase cells is markedly increased after 6 hours. These results suggest that TGF  $\alpha$  plays an important role in gastrointestinal carcinoma tissues and expression of TGF  $\alpha$  mRNA can be regulated by TPA.

**Key words** transforming growth factor  $\alpha$ , human gastrointestinal carcinoma, 12-O-tetradecanoylphorbol-13-acetate

analyzed. The general formulas of numbers of copies in different modes after certain cycles ( $n$ ) were gained and the math relation between the minimum ( $R_n$ ) of the non-base-mismatch copy proportion of PCR products and the efficiency cycle numbers ( $N$ ), the copy chain length ( $H$ ) catalyzed by Taq polymerase and the mismatch frequency ( $f$ ) was concluded by way of substituting step by step:  $R_n = (1 - Hf/2)^{N-1}(1 - Hf)$ . The formula has a guidance sense for preparing the gene segments used for the gene expression by PCR technique.

**Key words** polymerase chain reaction, base mismatch, gene expression